0

Communication au congrés de l'AISH de Vienne, Août 91

Prise en compte du type d'occupation des sols dans une modélisation pluie debit en zone de savane soudanaise

ORSTOM Fonds Documentaire

№: 35,560 lx:

Cote : B

0 1 JUIN 1992

PRISE EN COMPTE DU TYPE D'OCCUPATION DES SOLS DANS UNE MODELISATION PLUIE DEBIT EN SAVANE SOUDANAISE

E. SERVAT & A. DEZETTER

Antenne Hydrologique ORSTOM, 06 BP 1203, CIDEX 1, Abidjan 06, Ivory Coast

Les différents projets d'aide au développement ABSTRACT élaborés et réalisés dans le Nord de la Côte d'Ivoire nécessitent une bonne maîtrise de la gestion des ressources naturelles en général, et des ressources en eau en particulier. C'est dans cette optique qu'ont été réalisés des travaux de modélisation de la relation pluie-débit sur 17 bassins versants (100 à 4500 km2) des hauts bassins du Niger, du Bandama et du Sassandra. L'objectif était de caractériser les valeurs des paramètres après calage, afin de pouvoir utiliser ces algorithmes en simulation sur des bassins versants, non jaugés ou mal connus, dans le cadre de projets d'aménagement. Ces modèles "pluie-débit" ont été calés année par année sur les bassins versants retenus. On a, ensuite, procédé, sur les jeux de paramètres calés, à une analyse de données (ACP, régression linéaire multiple) destinée à mettre en évidence les relations entre les valeurs prises par les paramètres des modèles et différentes variables climatiques, physiques ou caractéristiques de l'occupation des sols. L'importance de clairement. Elles dernières apparaît entrent systématiquement dans les relations établies pour prédéterminer les valeurs des paramètres des modèles, permettant d'améliorer très sensiblement la validité de ces relations et donc la qualité des résultats qui en découlent. Ces relations ont été validées et testées. Elles présentent un niveau d'adéquation tout à fait satisfaisant entre hydrogrammes annuels observés et calculés, ce qui autorise leur utilisation dans le cadre de projets d'aménagements, à vocation agronomique en particulier.

INTRODUCTION

Les différents projets d'aide au développement élaborés et réalisés dans le Nord de la Côte d'Ivoire (périmètres d'irrigation, alimentation en eau potable, lutte contre l'onchocercose, etc.) visent, entre autres, à freiner le départ des populations rurales vers les grands centres urbains du Centre (Bouaké) et du Sud (Abidjan), en développant l'agriculture et en améliorant les conditions de vie dans ces régions plus défavorisées.

Les projets de restructuration et d'intensification des pratiques agricoles, si on ne considérait que ceux-ci, nécessitent une bonne maîtrise de la gestion des ressources naturelles en général, et des ressources en eau en particulier.

C'est dans cette optique que s'inscrivent les travaux de modélisation de la

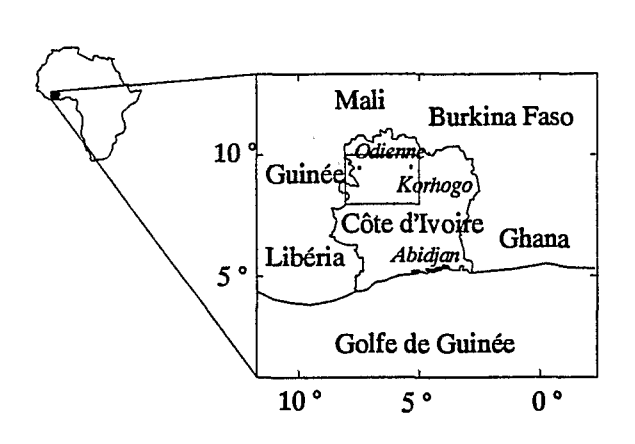


FIG. 1 Carte de situation de la zone d'étude

relation pluie-débit que nous avons réalisés en zone de savane soudanaise (Fig. 1). Cette étude a porté sur 16 bassins versants du Nord-Ouest de la Côte d'Ivoire, de superficie variant de 100 à 4500 km2, et situés sur les hauts bassins du Niger, du Bandama et du Sassandra.

Afin de réaliser cette étude dans des conditions véritablement opérationnelles, les données utilisées ont été celles fournies par les réseaux de mesure nationaux de Côte d'Ivoire. Ces données,

disponibles au pas de temps journalier, sont les seuls éléments véritablement accessibles aux aménageurs pour bâtir un projet et procéder à des simulations de fonctionnement sur de longues durées.

L'objectif principal que nous avions fixé à nos travaux consistait à être en mesure de fournir des outils fiables de modélisation pluie-débit, qui puissent également être utilisés sur des bassins versants non jaugés. Dans ce but, nous avons cherché à établir des équations de prédétermination des paramètres de ces modèles, à partir de différentes variables géomorphologiques, climatiques ou d'occupation des sols.

BASSINS VERSANTS, DONNEES ET MODELES UTILISES

Bassins versants et données

Les cours d'eau des 16 bassins versants retenus dans le cadre de cette étude présentent une crue unique, dont le maximum se situe généralement en Août ou Septembre, conséquence d'une seule saison des pluies qui débute habituellement en Juin pour s'arrêter en Octobre.

L'essentiel des données sur lesquelles nous avons pu travailler couvre la fin des années 1970 et les années 1980 jusqu'en 1985 ou 1986 selon les cas. Cette période est caractérisée par une forte variabilité des précipitations annuelles. L'année 1983, caractérisée par une sécheresse très marquée sur l'ensemble du territoire ivoirien, a vu, par exemple, un total précipité de 879 mm sur le bassin du Yani à Madji (1013 km2), alors qu'en 1981 la pluviométrie annuelle était de

1559 mm. En conséquence, les lames écoulées présentent, également, une très importante dispersion. On notera, sur ce même bassin du Yani, 21.8 mm écoulés en 1983 pour 164.9 mm en 1981.

Sur l'ensemble de ces bassins les coefficients d'écoulement restent très faibles. Ils ne dépassent que très rarement 12 à 15%, sont très souvent inférieurs à 10%, et présentent parfois des valeurs inférieures à 5%.

Les caractéristiques propres à chacun de ces bassins versants ont été regroupées dans le Tableau 1, ainsi que les pourcentages relatifs aux différents types d'occupation des sols.

On note, sur la zone étudiée, une densité d'habitat très faible, avec un maximum de 4.4% observé sur le bassin du Lafigue, et qui correspond à la présence de la ville de Korhogo. L'existence de cette agglomération importante explique également la forte couverture du bassin en cultures (64.5%). Ce bassin

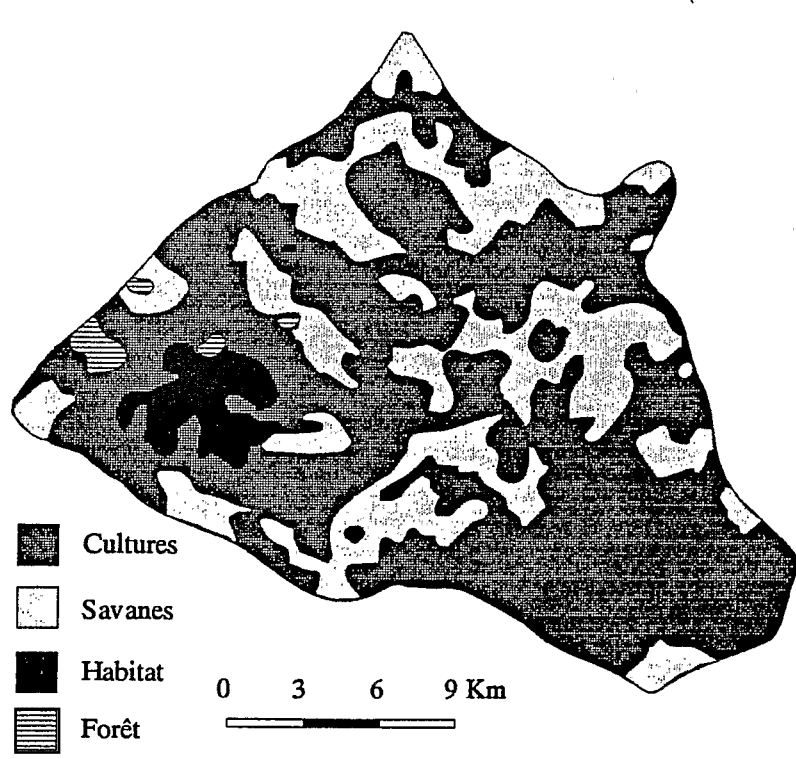


FIG. 2 Carte d'occupation des sols du bassin du Lafigue Route de Badikaha

mis part, de pourcentages savane varient de 55.7 à 95.9%, ceux de forêt claire de 0.0 à 24.3%, et ceux de cultures de 0.3 à 44.0% (les pourcentages relatifs à l'habitat sont significatifs).

D'un bassin l'autre, la nature de l'occupation des sols varie donc très sensiblement. Des cartes ont été dressées à partir des photos satellite (Servat Lapetite, 1990). nous présentons à titre d'exemple celle du Lafigue Route de Badikaha (Fig. 2).

TABLEAU 1 Caractéristiques des bassins versants étudiés. ((i): période d'observation incomplète; S: Savane; F: Forêt claire; C: Cultures; H: Habitat).

					١				
Nom du Bassin	Superf.	Période étudiée	Pluie annu.	Lam e	Coef. écoul	S	F	С	Н
	(km2)		(mm)	écoul (mm	(%)	(%)	(%)	(%)	(%)
)					
Doundian		1980 à	1091 à	55 à	4.9 à				
à Wahire	650	1984	1537	252	16.4	75.0	13.0	11.7	0.3
Banifing à		1978 à	1103 à	182 à	13.0				
Ziemougou	990	1985 (i)	1457	276	22.2	70.3	17.1	12.4	0.2
Bandama à		1981 à	895 à	16 à	1.8 à				
Seguekiele	368	1985	1540	176	11.4	68.1	0.8	30.5	0.6
Bagoé à	٤. ر	1968 à	970 à	45 à	4.6 à				
Kouto	4700	1985 (i)	1827	355	21.8	59.8	23.8	5.9	0.5
Bagoé à		1981 à	1103 à	52 à	4.7 à				
Guingérini	1042	1983	1454	299	21.2	70.2	24.3	5.3	0.2
Lafigue à		1981 à	835 à	35 à	4.2 à				
Rte Badik.	443	1984	1410	195	16.3	30.0	1.1	64.5	4.4
Badenou à		1983 à	680 à	3 à	0.5 à				
M'Bengue	1800	1985	1288	138	10.8	66.9	6.4	25.8	0.9
Yoreloro à		1982 à	914 à	14 à	1.5 à	•			
Kategue	338	1986 (i)	1163	66	5.7	59.4	9.1	31.0	0.5
Yani à		1980 à	879 à	21 à	2.4 à				
Madji	1013	1986 (i)	1559	164	10.5	83.6	9.4	6.8	0.2
Douni à		1983 à	1011 à	77 à	7.6 à			•	
Pt. 398	120	1986 (i)	1240	247	22.5	55.7	0.0	44.0	0.3
Kobani à		1977 à	994 à	47 à	4.7 à				
Nimbrini	342	1984 (i)	1038	70	6.7	70.9	6.2	22.7	0.2
Mahandiab		1983 à	1092 à	86 à	7.7 à				
.à Wahire	835	1984	1117	119	10.9	80.5	15.4	4.0	0.1
Sien à Na-		1977 à	1038 à	57 à	5.4 à				
fana	615	1984	1667	284	17.0	58.0	0.9	40.9	0.2
Sien à		1981 à	1011 à	40 à	3.8 à				
Massadou.	1325	1986	1610	193	15.4	55.9	8.7	35.0	0.4
Tiemba à		1982 à	1177 à	135 à	11.5				
Lille	541	1984	1616	279	17.3	95.9	3.5	0.3	0.3
Tiemba à		1981 à	973 à	59 à	6.1 à				
Dioulatie.	2790	1984(i)	1520	298	19.5	91.3	3.7	4.4	0.6

Modèles pluie-débit

Deux modèles globaux conceptuels et déterministes ont été utilisés pour mener à bien cette étude: CREC (Guilbot, 1985) et GR3 (Edijatno & Michel, 1989).

CREC est basé sur un schéma à réservoirs relativement classique qui permet d'identifier une fonction de production et une fonction de transfert.

a fonction de production tient compte de l'état d'humidité du sol par le biais du taux de remplissage d'un réservoir alimentant l'évapotranspiration, et fournit la fraction de l'eau précipitée devant participer à l'écoulement. La fonction de transfert comprend, elle, un terme d'écoulement rapide et un terme d'écoulement lent.

Cette version de CREC utilise 7 paramètres que l'on peut répartir en 3 paramètres de production (X3, X4 et X7) et 4 paramètres de transfert (X1, X2, X5 et X6).

L'architecture de GR3 repose sur deux réservoirs et un hydrogramme unitaire:

- (a) le réservoir-sol (paramètre A), qui n'a comme seule sortie que le prélèvement occasionné par l'évaporation potentielle. Ce réservoir commande la répartition de la pluie nette entre lui-même et le sous-modèle de routage;
- (b) un hydrogramme unitaire (paramètre C), qui décrit la propagation des débits depuis leur formation à partir des pluies nettes jusqu'au deuxième réservoir, à savoir:
- (c) le réservoir-eau-gravitaire (paramètre B). Ce réservoir reçoit les débits routés selon l'hydrogramme unitaire. Il a comme seule sortie le débit de la rivière et sa loi de vidange est du type quadratique.

METHODOLOGIE

Sur les bassins versants retenus, les débits observés au début du mois de Janvier sont nuls ou très faibles. Il a donc été décidé de travailler en années civiles (1er Janvier - 31 Décembre), considérées comme hydrologiquement indépendantes.

Après avoir éliminé les années d'observation pour lesquelles les données étaient incomplètes ou douteuses, nous disposions d'un total de 60 années pour les 16 bassins versants.

Les modèles CREC et GR3 ont été calés parallèlement pour chaque année prise individuellement, en utilisant la fonction critère de Nash (Servat & Dezetter, 1990 a). Pour chacun de ces algorithmes "pluie - débit", nous disposions donc de 60 jeux de paramètres calés dans des contextes différents (bassins différents, conditions climatiques variant d'une année à l'autre).

Une première exploitation de ces résultats a été réalisée par validation croisée (Servat & Dezetter, 1990 b). Nous ne rentrerons pas ici dans les détails, mais nous signalerons cependant qu'une des conclusions importantes de cette étude est que pour un bassin versant donné, le calage obtenu une année se révèle généralement inadéquat pour les autres années. Ce qui conduirait à penser que

les calages seraient plus dépendants de facteurs externes (climat, végétation, etc.) variant chaque année, que de facteurs intrinsèques au bassin versant.

Pour chacun des modèles, les 60 jeux de paramètres calés ont ensuite été étudiés à l'aide des techniques d'Analyse en Composantes Principales et de Régression Multiple. Les variables explicatives retenues étaient les suivantes:

- (a) Caractéristiques du bassin: Superficie (km2), Indice de Compacité de Gravelius.
- (b) Caractéristiques climatiques annuelles:
 - (i) Pluie Annuelle en mm (PA)
 - (ii) Pluies cumulées, en mm, du 1er Janvier aux dates suivantes: 15 Juin (Pc6), 15 Juillet (Pc7), 15 Août (Pc8), 15 Septembre (Pc9), 15 Octobre (Pc10).
 - (iii) Pluies relatives (en %), définies par le rapport "Pluie cumulée du 1er Janvier à la date D/Pluie Annuelle", aux dates suivantes:15 Juin (Pr6), 15 Juillet (Pr7), 15 Août (Pr8), 15 Septembre (Pr9), 15 Octobre (Pr10).
- (c) Caractéristiques d'occupation des sols: pourcentages respectifs de savane, de forêt claire, de cultures et d'habitat.

L'utilisation de la méthode de régression multiple dite du "Stepwise" (Draper & Smith, 1981) a permis d'obtenir des équations de prédétermination des paramètres des modèles. Ces équations ont été obtenues sur un échantillon, tiré au hasard, de 40 jeux de calages annuels auxquels étaient associées les variables explicatives correspondantes. Ces relations ont ensuite été validées sur les 20 "stations-années" non utilisées pour établir les équations.

RESULTATS

La recherche de relations significatives entre un paramètre et l'une quelconque des variables explicatives s'est révélée totalement infructueuse.

L'Analyse en Composantes Principales n'a pas, non plus, permis d'identifier de relations claires entre paramètres et variables. Les composantes principales sont assez faiblement définies, les trois premières cumulées n'expliquant que 69.7% de la variance totale du système. La première composante (34.3% de la variance) est bien corrélée avec les termes de pluie cumulée (R = 0.96 avec Pc7, R = 0.93 avec Pc8), la seconde (17.9% de la variance) est difficile à définir précisément, et la troisième (17.4% de la variance) reflète l'antagonisme observé entre le couple (Savane, Forêt) et le couple (Culture, Habitat).

Les corrélations entre les paramètres des modèles et ces composantes principales sont très faibles, à quelques nuances près, cependant, pour le modèle GR3. En effet, sa structure, au nombre de paramètres réduit, leur garantit un rôle plus marqué et une indépendance plus grande.

La recherche, par la méthode du Stepwise, d'équations de régression multiple a conduit aux relations qui figurent dans le Tableau 2.

TABLEAU 2 Equations de prédétermination des paramètres des modèles CREC et GR3.

Modèle GR3 Modèle CREC Ln X1 = 29.171 - 5.320 Ln Pc8Ln A = 7.752 + 0.0095 Cultures- 4.450 Pr6 Ln B = -16.308 + 0.031 CulturesLn X2 = -0.559 + 0.787 Pr7+ 3.453 Ln Pc8 Ln C = 2.957 Compacité - 0.114 ForêtLn X3 = -21.977 - 0.049 Forêt- 12.721 Pr7 + 2.553 Ln PA Ln X4 = 7.765 - 2.556 Ln PA- 0.011 Cultures + 1.029 Ln Pc8 Ln X5 = 9.753 + 0.018 Cultures+ 8.913 Pr7- 1.838 Ln Pc8 X6 = 0.918 Cultures Ln X7 = 0.598 Ln Pc7

L'importance des paramètres d'occupation des sols apparaît clairement. Pour le modèle CREC ils contribuent à définir X3 et X4, paramètres de production, ainsi que X5 et X6, paramètres de transfert. Pour GR3, on retrouve le pourcentage de cultures ou le pourcentage de forêt dans la définition de chacun des paramètres.

Une autre caractéristique de ces équations, qui peut être indirectement reliée à la nature de l'occupation des sols, est l'importance des termes de pluie cumulée ou relative des premiers mois de saison des pluies. Une des hypothèses que l'on peut avancer à ce sujet est que ces variables caractérisent le démarrage après la saison sèche, la croissance et l'importance de la couverture végétale, élément fondamental au vu de l'importance des phénomènes d'évapotranspiration dans les bilans hydriques en zone de savane soudanaise.

Ces relations ont ensuite été validées sur les 20 stations années qui n'avaient pas été utilisées pour leur calage. Le Tableau 3 présente les valeurs moyennes de critères de comparaison entre hydrogrammes observés et hydrogrammes reconstitués à l'aide des équations de prédétermination des paramètres: coefficients de corrélation entre lames observées et calculées, écarts entre les coefficients d'autocorrélation d'ordre 1, et écart en % entre les volumes écoulés observés et calculés du 1er Juillet au 31 Octobre (période considérée comme primordiale en ce qui concerne la détermination des apports en eau). Ces critères de comparaison mettent en évidence la bonne qualité des lames prédéterminées. Les mauvais coefficients de corrélation et les fortes valeurs d'écarts sur les

volumes sont observés pour les hydrogrammes prédéterminés dans le cas des années exceptionnellement sèches (1983 et à un degré moindre 1984). L'erreur réalisée se voit, dans ce cas, tout à fait relativisée, au vu des faibles valeurs des lames écoulées observées ces années là (lame décadaire maximale de l'ordre de 5mm).

Le modèle GR3 présente de meilleurs résultats que CREC. Ceci est lié à la qualité de la définition et à l'indépendance de ses paramètres. A l'inverse, les nombreux paramètres de CREC, mal définis, sont relativement interdépendants les uns des autres. Ceci entraîne, dans le processus de calage du modèle, des phénomènes de compensation qui nuisent à la qualité des équations de prédétermination établies par la suite.

TABLEAU 3 Critères de comparaison entre hydrogrammes observés et prédéterminés.

	Modèle CREC	Modèle GR3
Coefficient de corrélation	moyenne: 0.70	moyenne: 0.89
entre lames observées et	maximum: 0.98	maximum: 0.99
lames calculées	minimum: 0.009	minimum: 0.81
Ecart sur le coefficient	moyenne: 0.12	moyenne: 0.11
d'autocorrélation d'ordre	maximum: 0.43	maximum: 0.35
1 observé et calculé	minimum: 0.0004	minimum: 0.003
Ecart entre volumes	moyenne: 40.85	moyenne: 28.52
écoulés observés et	maximum: 91.28	maximum: 128.4
calculés (1/07 au 31/10) en %	minimum: 4.73	minimum: 0.11
en %		

Les Figures 3, 4 et 5 présentent, à titre d'exemple, trois hydrogrammes annuels reconstitués par prédétermination des paramètres de CREC et GR3.

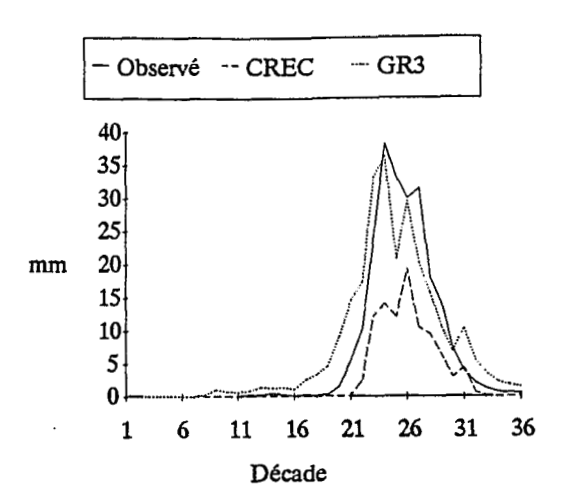
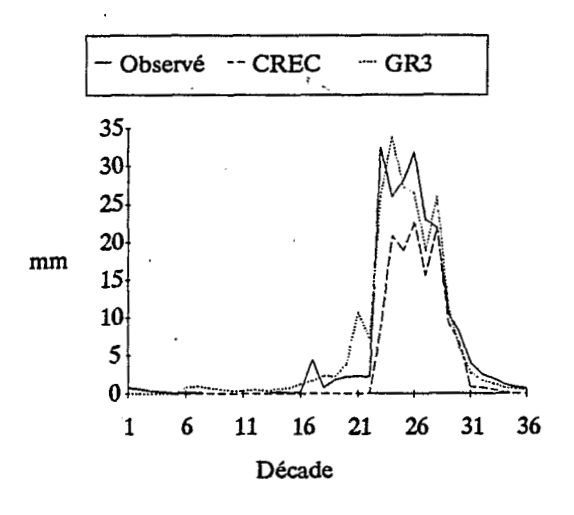


FIG. 3 La Bagoé à Kouto, 1985. Hydrogrammes observé et prédéterminés (CREC et GR3).



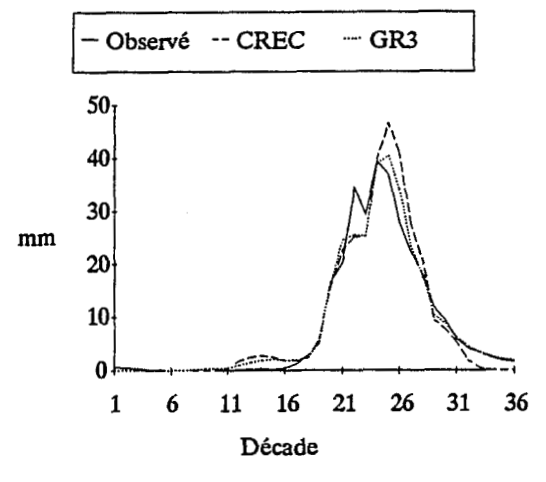


FIG. 4 Le Sien à Nafana-Sienso, 1977. Hydrogrammes observé et prédéterminés (CREC et GR3).

FIG. 5 La Tiemba à Dioulatiedougou, 1981. Hydrogrammes observé et prédéterminés (CREC et GR3).

CONCLUSION

La méthodologie appliquée dans le cadre de cette étude (regroupement en "stations - années", calages annuels systématiques, caractérisation des jeux de paramètres calés et recherche d'équations de prédétermination des paramètres au moyen des techniques de régression multiple) a permis d'accéder à des résultats de bonne qualité, autorisant le calcul d'apports sur des bassins non jaugés en zone de savane soudanaise. Ces hydrogrammes prédéterminés ont une précision qui les rend utilisables dans le cadre d'études de projets d'aménagements.

Les relations auxquelles nous avons abouti mettent en évidence l'importance du type d'occupation des sols sur la réponse du bassin versant en termes d'écoulement. Elles mettent également l'accent, de manière indirecte, sur la nécessité de pouvoir prendre en compte des variables caractéristiques de la couverture végétale proprement dite. Ce qui permettrait d'améliorer sensiblement la représentation des phénomènes d'évapotranspiration, primordiaux dans le bilan hydrique en zone de savane soudanaise.

On remarquera, par ailleurs, que c'est un modèle au nombre de paramètres réduit, GR3, qui conduit aux meilleurs résultats. Ce qui pose, une fois encore, le problème de la juste paramétrisation des modèles, et de la nécessité de l'indépendance des paramètres.

Signalons, pour terminer, qu'à la suite de ces résultats, cette méthodologie devrait se voir appliquée avec les mêmes objectifs dans des régions dont le climat est comparable, c'est à dire qui présentent une saison sèche longue et marquée: Nordeste Brésilien, pourtour méditerranéen, autres pays d'Afrique de la zone soudanaise.

REMERCIEMENTS

Les auteurs tiennent à remercier la Direction de l'Eau du Ministère des Travaux Publics de Côte d'Ivoire et l'Agence Nationale pour les Aéroports et la Météorologie pour la consultation et l'utilisation des banques de données.

Les auteurs remercient Jean-Marc LAPETITE (ORSTOM) pour sa contribution dans le cadre du traitement des données d'évapotranspiration potentielle.

REFERENCES

- Draper N.R. & Smith H. (1981) Applied regression analysis. John Wiley & sons Ed.
- Edijatno & Michel C. (1989) Un modèle pluie-débit journalier à trois paramètres. <u>La Houille Blanche</u>, n°2/1989: 113-121.
- Guilbot A. (1986) Des multiples applications d'un modèle conceptuel du cycle de l'eau en France. Revue Internationale des Sciences de l'Eau, Vol 2-1: 19-26.
- Servat E. & Dezetter A. (1990 a) Sélection de critères numériques de calage dans le cadre d'une modélisation pluie-débit en zone de savane soudanaise. Hydrologie Continentale. Accepté pour publication.
- Servat E. & Dezetter A. (1990 b) Modélisation pluie-débit. Analyse des calages des fonctions de transfert et de production. Programme ERREAU. ORSTOM. Abidjan. Côte d'Ivoire.
- Servat E. & Lapetite J.M. (1990) Occupation des sols des bassins versants du Programme ERREAU. Programme ERREAU. ORSTOM. Abidjan. Côte d'Ivoire.

VIEILLEFON J., 1975. Carte pédologique de la basse Casamance (domaine fluvio-marin) au 1/100.000. Note explicative ORSTOM n° 57.

ZANTE P., 1987. Mise en valeur des mangroves du Sénégal - Vallée des Kalounayes - Site d'étude de Koubalan. Comportement hydrique des sols de la séquence au cours de la saison 1984 - 1985. Multigr., ORSTOM/Dakar, 24 p. + annexes.

ZANTE P., LE BRUSQ J.Y., MONTOROI J.P., 1987. Mise en valeur des mangroves du Sénégal - Vallée des Kalounayes - Sites d'étude de Koubalan et de Djiguinoum. Rapport de campagne 1986. Multigr., ORSTOM/Dakar, 38 p. + annexes.

ZANTE P., LE BRUSQ J.Y., BOIVIN P., PERAUDEAU M., 1986. Mise en valeur des mangroves du Sénégal - Vallée des Kalounayes - Site d'étude de Koubalan. Rapport des campagnes de mesure 1984-1985 - Pluviométrie et suivi des nappes. Multigr., ORSTOM/Dakar, 32 p.

PIMMEL A. 1984. Contribution à l'étude sédimentologique des mangroves de Casamance, Sénégal. Etude granulométrique et exoscopique. Thèse 3ème cycle, Univ. L. Pasteur, Strasbourg.

POSNER J.L., KAMUANGA M., SALL S., 1985. Les systèmes de production en basse Casamance et les stratégies paysannes face au déficit pluviométrique. Multigr., ISRA, TD n° 4, Dakar, 29 p.

SAOS J.L., DACOSTA H., 1987. Evolution hydrologique d'un bassin versant margino-littoral: le marigot de Baïla (basse Casamance). In «Etudes des estuaires et lagunes du Sénégal». EPEEC/UNESCO, 59-76.

SAOS J.L., DACOSTA H., LE TROQUER, Y. OLIVRY J.C., 1987. Le marigot de Baïla (basse Casamance): pluviométrie et écoulement (résultats des campagnes 1983-1986). Multigr., ORSTOM/Dakar, 55 p.

SAOS J.L., LE BOUTEILLER C., DIOP E.S., 1987. Aspects géologiques et géomorphologiques de la Casamance: étude de la sédimentation actuelle. Rev. Hydrobiol. trop., 20, 3-4, 219-232.

SYLLA M., COLLY J.P., KOSSY B., 1987. Effets de trois formes de phosphates sur la production de riz sur sol acide présentant des teneurs toxiques en aluminium. Multigr., ISRA-DSRA.

SOMIVAC, 1988. Bilan technique de cinq années de fonctionnement du barrage de Guidel (1983-1987). Perspective d'avenir. Multigr., 29 p.

TOUMA J., BOIVIN P., 1988. Mesure de l'infiltrabilité du sol par la méthode du double anneau. II- Résultats numériques. Cah. ORSTOM, sér. Pédol., vol XXIII, 2, 123-131.

TRAVERSE S., 1975. Traditions et modernisation des techniques de riziculture en basse Casamance. Agr. Trop., 30, 1, 28-34.

USAID/SOMIVAC/ISRA, 1985. Actes de la IIème Table Ronde sur les barrages anti-sel, 12-15 juin 1985, Ziguinchor.

VIEILLEFON J., 1969. La pédogénèse dans les mangroves tropicales. Un exemple de chronoséquence. Science du sol, 2, 115-148.

VIEILLEFON J., 1971. Contribution à l'étude du cycle du soufre dans les sols de mangrove. Ses rapports avec l'acidification naturelle ou provoquée. Cah. ORSTOM, sér. Pédol., vol. IX, 3, 241-270.

VIEILLEFON J., 1972. Sur quelques transformations sédimentologiques et minéralogiques dans les sols sulfatés acides du Sénégal.Int. Symp. Acid Sulphate Soils, Ed. H. DOST, Wageningen, publ., 18, vol. II, 99-113.

VIEILLEFON J., 1974. Quelques conséquences des transformations du soufre sur la pédogénèse dans une séquence de sols du domaine fluviomarin. Cah. ORSTOM, sér. Pédol., vol. XII, 1, 47-68.

VIEILLEFON J., 1977. Les sols des mangroves et des tannes de basse Casamance (Sénégal). Importance du comportement géo-chimique du soufre dans leur pédogénèse. Mém. ORSTOM, 83.